

ЛИТЕРАТУРА

1. Голяев Ю. Д., Лантратов С. В. Активная синхронизация мод непрерывных лазеров на гранате с неодимом // Квантовая электрон.— 1983.— Т. 10, № 5.
2. Безаева Л. Г., Копцов Л. К., Ланда П. С., Холодных А. И. Синхронизация мод в YAG: Nd³⁺-лазере при модуляции потерь // Опт. и спектр.— 1985.— Т. 59, № 3.
3. Yao S. K., Tsai C. S. Acoustooptic Bragg diffraction with application to ultrahigh data rate laser communication systems // Appl. Opt.— 1977.— V. 16, N 11.
4. Магдич Л. Н., Сасов В. Н., Шницер П. И. О температурном режиме акустооптического синхронизатора мод // Электрон. техника, сер. 10. Квантовая электрон.— 1975.— № 1.
5. Uramura T. An ultrasonic study of some optical glasses // Jap. J. Appl. Phys.— 1967.— V. 6, N 7.
6. Физико-химические основы производств оптического стекла/Под ред. Л. И. Демкиной.— Л.: Химия, 1976.
7. Кульбицкая М. Н., Шутилов В. А. Ультразвуковые исследования стекол // Акуст. журн.— 1976.— Т. XXII, № 6.
8. Deeg E. Zusammenhang zwischen Einbau und mechanischakustischen Eigenschaften silicat glaser // Glastechn. Ber.— 1957.— Bd 34, N 1—6.

Поступила в редакцию 25 марта 1986 г.

УДК 535.241.13 : 534

А. В. ТРУБЕЦКОЙ
(Новосибирск)

МНОГОЧАСТОТНОЕ АКУСТООПТИЧЕСКОЕ ВЗАИМОДЕЙСТВИЕ В АНИЗОТРОПНОЙ СРЕДЕ

Введение. Дифракция света на множестве акустических волн с разными частотами применяется в акустооптических дефлекторах-модуляторах (АОДМ) света, предназначенных для устройств параллельной записи данных [1], обработки радиосигналов [2], лазерной записи изображений [3] и других.

Особенностью данного вида акустооптического взаимодействия является наличие эффектов повторного рассеяния первичных (сигнальных) дифрагированных световых пучков с образованием интермодуляционных (шумовых) световых пучков. Кроме того, наблюдается эффект взаимодействия (кросс-модуляция) сигнальных пучков. Количественная оценка влияния этих эффектов проводилась в [4] для случая дифракции в оптически изотропной среде. Однако для анизотропных сред с широкополосной геометрией взаимодействия, таких как кристаллы парателлуриата (TeO₂) [5, 6], ниобата лития и другие, указанные оценки не применимы. Дело в том, что в этих средах существует значительная асимметрия в условиях фазового согласования волн для 0-го и 1-го порядков дифракции, в результате чего дифракция света из 0-го порядка в 1-й возможна в широкой полосе акустооптических частот, а обратная дифракция узкополосна. Последнее необходимо учитывать при оценке эффектов многочастотной дифракции. Целесообразно рассмотреть наиболее часто применяемый на практике случай большого числа акустооптических частот ($N > 2$), который ранее был изучен недостаточно.

В данной работе получена система дифференциальных уравнений, описывающая брэгговскую многочастотную дифракцию света в анизотропной среде. На основе приближенного решения системы для большого числа частот найдены выражения для интенсивностей сигнальных и шумовых дифрагированных световых пучков. Проведены расчеты параметров дифракции: дифракционной эффективности, кросс-модуляции, отношения сигнал — интермодуляционный фон, которые позволяют вы-

бирать оптимальные характеристики и режим работы АОДМ. Дана оценка параметров дифракции для случая АОДМ на кристалле TeO_2 .

1. Теория многочастотной дифракции в анизотропной среде. Совокупность N акустических волн с разными частотами, имеющих одинаковую поляризацию и направление распространения, создает в анизотропной среде изменение тензора диэлектрической проницаемости

$$\varepsilon = \varepsilon_0 + \sum_{n=1}^N \Delta\varepsilon_n \cos(\Omega_n t - \mathbf{q}_n \mathbf{r} + \varphi_n), \quad (1)$$

где ε_0 — невозмущенный тензор диэлектрической проницаемости; $\Delta\varepsilon_n$ — тензор возмущения, вносимого n -й акустической волной с круговой частотой Ω_n , волновым вектором \mathbf{q}_n и фазой φ_n ; t — время; \mathbf{r} — радиус-вектор пространства. Вид тензора $\Delta\varepsilon_n$ определяется тензором фотоупругих коэффициентов среды, поляризацией и направлением распространения упругих волн [7]. В данном случае полагаем, что $\Delta\varepsilon_n$ одинаковы для всех n ($n=1, 2, 3, \dots, N$). Кроме того, считаем, что фазы φ_n принимают равновероятные случайные значения, например 0 и π , а частоты Ω_n образуют дискретную сетку с постоянным шагом, т. е. $\Omega_n = \Omega_0 + (n-1)2\pi\delta$, где Ω_0 — минимальная круговая частота, δ — частотный шаг. Тогда модуль вектора \mathbf{q}_n равен $q_n = [\Omega_0 + (n-1)2\pi\delta]/V$, где V — скорость звука в среде. Акустические волны принимаем неограниченными по координатам x, y и ограниченными по координате z , как это показано на рис. 1, а. Причем волновые векторы этих волн $\mathbf{q}_1 \dots \mathbf{q}_N$ могут составлять некоторый угол θ_i с направлением потока акустической энергии по оси x .

Пусть на границу акустического пучка (плоскость $z=0$ на рис. 1, а) падает плоская световая волна единичной амплитуды с волновым вектором \mathbf{k}_0 , круговой частотой ω_0 и вектором поляризации \mathbf{e}_0 . Тогда в области взаимодействия суммарное электрическое поле \mathbf{E} падающей и дифрагированных волн удовлетворяет уравнению Максвелла

$$\text{rot rot } \mathbf{E} = -\frac{1}{c^2} \frac{d^2}{dt^2} (\varepsilon \mathbf{E}), \quad (2)$$

где c — скорость света. Рассмотрим случай дифракции света в режиме Брэгга, реализуемый при достаточно большой длине взаимодействия d . Выберем геометрию взаимодействия, исключая возможность эффективного рассеяния света во 2-й порядок дифракции с двукратным поглощением или испусканием фонона в пределах рабочей полосы частот [5, 6]. В данном случае можно ограничить рассмотрение световыми вол-

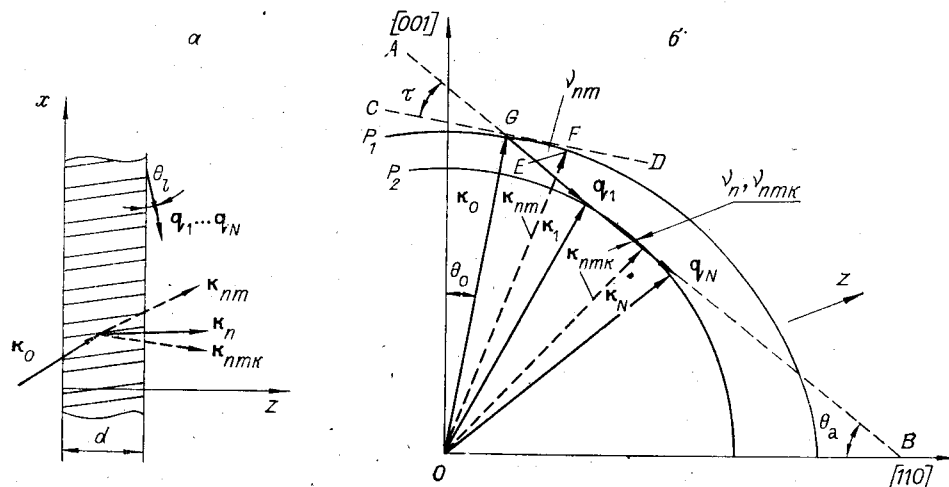


Рис. 1. Взаимодействие света со множеством акустических волн в анизотропной среде: а — вид области взаимодействия; б — диаграмма волновых векторов

нами, рассеянными в направлениях, близких к 0-му и 1-му порядкам дифракции. Полагаем, что 1-й порядок дифракции возникает при поглощении фонона, 2-й порядок — при его испускании, 3-й — вновь при поглощении. Поляризацию рассеянных световых волн считаем линейной, совпадающей с поляризацией одной из собственных волн среды [8]. Дело в том, что из-за различия в показателях преломления среды для световых волн различных поляризаций условия дифракции Брэгга обычно выполняются только для одной из поляризаций, а интенсивность волн другой поляризации пренебрежимо мала. Отсюда решение уравнения (2) для ϵ вида (1) будем искать как сумму плоских волн с амплитудами, зависящими от координаты z :

$$\begin{aligned} \mathbf{E} = & \mathbf{e}_0 a_0(z) \exp i(\omega_0 t - \mathbf{k}_0 \mathbf{r}) + \sum_{n=1}^N \mathbf{e}_n a_n(z) \exp i(\omega_n t - \\ & - \mathbf{k}_n \mathbf{r} + \varphi_n) + \sum_{n=1}^N \sum_{\substack{m=1 \\ (n \neq m)}}^N \mathbf{e}_{nm} a_{nm}(z) \exp i(\omega_{nm} t - \mathbf{k}_{nm} \mathbf{r} + \varphi_{nm}) + \\ & + \sum_{n=1}^N \sum_{\substack{m=1 \\ (n \neq m)}}^N \sum_{k=1}^N \mathbf{e}_{nmk} a_{nmk}(z) \exp i(\omega_{nmk} t - \mathbf{k}_{nmk} \mathbf{r} + \varphi_{nmk}), \end{aligned} \quad (3)$$

где \mathbf{e}_n , \mathbf{e}_{nm} , \mathbf{e}_{nmk} — векторы поляризации; $a_n(z)$, $a_{nm}(z)$, $a_{nmk}(z)$ — амплитуды; ω_n , ω_{nm} , ω_{nmk} — круговые частоты; \mathbf{k}_n , \mathbf{k}_{nm} , \mathbf{k}_{nmk} — волновые векторы для световых волн в 1, 2 и 3-м порядках дифракции соответственно, а n , m , $k = 1, 2, 3, \dots, N$.

Первый член в (3) описывает падающую световую волну в 0-м порядке дифракции с амплитудой $a_0(z)$, зависящей от координаты z . Второй член соответствует первичным (сигнальным) волнам в 1-м порядке дифракции, возникающим в результате однократного рассеяния падающей световой волны на N акустических волнах. Третий член в (3) описывает 2-й порядок дифракции и представляет собой сумму волн двукратной дифракции, образовавшихся в окрестности 0-го порядка дифракции вследствие обратного рассеяния каждой из N сигнальных волн на совокупности $N-1$ «чужих» акустических волн. Четвертый член в (3) соответствует 3-му порядку дифракции и является суммой волн трехкратной дифракции, возникших в результате повторного рассеяния волн двукратной дифракции в окрестность 1-го порядка дифракции. Волны двукратной и трехкратной дифракции образуют два различных вида интермодуляционных (шумовых) световых пучков [4].

Подставим в (2) выражение \mathbf{E} из (3), ϵ из (1) и выполним преобразования, аналогичные проведенным в [8] для одночастотного случая. Как обычно, пренебрегаем вторыми производными от амплитуд по координате z . В полученном уравнении переменные t , x , y входят только в показатели экспонент, поэтому оно будет удовлетворяться при любых t , x , y , если коэффициенты перед этими переменными равны в левой и правой частях уравнения. Получаем следующие равенства для круговых частот: $\omega_n = \omega_0 + \Omega_n$, $\omega_{nm} = \omega_0 + \Omega_n - \Omega_m$, $\omega_{nmk} = \omega_0 + \Omega_n - \Omega_m + \Omega_k$ [3, 4] — и для проекций волновых векторов на ось x :

$$\begin{aligned} k_{n,x} &= k_{0,x} + q_{n,x}, \\ k_{nm,x} &= k_{0,x} + q_{n,x} - q_{m,x}, \\ k_{nmk,x} &= k_{0,x} + q_{n,x} - q_{m,x} + q_{k,x}. \end{aligned} \quad (4)$$

Векторы \mathbf{k}_0 и \mathbf{q}_n считаем лежащими в плоскости x, z , поэтому $k_{n,y} = k_{nm,y} = k_{nmk,y} = 0$. Фазы световых волн удобно выбрать равными $\varphi_{nm} = \varphi_n - \varphi_m$; $\varphi_{nmk} = \varphi_n - \varphi_m + \varphi_k$, так как это упрощает запись промежуточных выражений, не влияя на конечный результат. В левой и правой частях уравнения Максвелла последовательно приравниваем коэффициенты перед экспонентами вида $\exp i(\omega_0 t - \mathbf{k}_0 \mathbf{r})$, $\exp i[\omega_n t - (\mathbf{k}_0 + \mathbf{q}_n) \mathbf{r}]$, $\exp i[\omega_{nm} t - (\mathbf{k}_0 + \mathbf{q}_n - \mathbf{q}_m) \mathbf{r}]$ и $\exp i[\omega_{nmk} t - (\mathbf{k}_0 + \mathbf{q}_n - \mathbf{q}_m + \mathbf{q}_k) \mathbf{r}]$. В резуль-

тате запишем систему дифференциальных уравнений

$$c_0 a_0' = -i \sum_{n=1}^N \kappa_n \tilde{a}_n; \quad (5)$$

$$c_n (\tilde{a}_n' + i\nu_n \tilde{a}_n) = -i \kappa_n a_0 - i \sum_{\substack{m=1 \\ n \neq m}}^N \kappa_{nm} \tilde{a}_{nm}; \quad (6)$$

$$c_{nm} (\tilde{a}_{nm}' + i\nu_{nm} \tilde{a}_{nm}) = -i \kappa_{nm} \tilde{a}_n - i \sum_{k=1}^N \kappa_{nmk} \tilde{a}_{nmk}; \quad (7)$$

$$c_{nmk} (\tilde{a}_{nmk}' + i\nu_{nmk} \tilde{a}_{nmk}) = -i \kappa_{nmk} \tilde{a}_{nm}; \quad (8)$$

где введены амплитуды $\tilde{a}_n = a_n(z) \exp(-i\nu_n z)$, $\tilde{a}_{nm} = a_{nm}(z) \exp(-i\nu_{nm} z)$,

$$\nu_{nm} = k_{nm,z} - (k_{0,z} + q_{n,z} - q_{m,z}); \quad (9)$$

$$\nu_{nmk} = k_{nmk,z} - (k_{0,z} + q_{n,z} - q_{m,z} + q_{k,z}).$$

Коэффициенты κ_n , κ_{nm} , κ_{nmk} в (5)–(8) характеризуют эффективность связи волн и равны

$$\kappa_n = \omega_n^2 (\mathbf{e}_n \Delta \varepsilon_n \mathbf{e}_0) / (2c^2);$$

$$\kappa_{nm} = \omega_{nm}^2 (\mathbf{e}_n \Delta \varepsilon_m \mathbf{e}_{nm}) / (2c^2);$$

$$\kappa_{nmk} = \omega_{nmk}^2 (\mathbf{e}_{nmk} \Delta \varepsilon_k \mathbf{e}_{nm}) / (2c^2).$$

Коэффициенты

$$c_0 = 2|\mathbf{k}_0| \cos \psi_0 \cos \gamma_0; \quad c_n = 2|\mathbf{k}_n| \cos \psi_n \cos \gamma_n; \quad c_{nm} = 2|\mathbf{k}_{nm}| \cos \psi_{nm} \cos \gamma_{nm};$$

$$c_{nmk} = 2|\mathbf{k}_{nmk}| \cos \psi_{nmk} \cos \gamma_{nmk},$$

где ψ_0 , ψ_n , ψ_{nm} , ψ_{nmk} — углы между лучевым вектором соответствующих световых волн и осью z , а γ_0 , γ_n , γ_{nm} , γ_{nmk} — углы между волновым и лучевым векторами световых волн [8]. Начальные условия для амплитуд при $z=0$ следующие: $a_0 = 1$, $\tilde{a}_n = \tilde{a}_{nm} = \tilde{a}_{nmk} = 0$. Заметим, что в правой части уравнения (6) не учитывается дополнительное слагаемое вида $\sum_l \sum_p \sum_g \kappa_{pgl} \tilde{a}_{pgl} \exp i(\varphi_{pgl} - \varphi_n)$, где $\kappa_{pgl} = \omega_{pgl}^2 (\mathbf{e}_n \Delta \varepsilon_l \mathbf{e}_{pgl}) / (2c^2)$, а суммирование ведется по индексам p, g, l , удовлетворяющим условию $p - g + l = n$, причем $p \neq n$, $g \neq l$, $p \neq g$. Благодаря случайному распределению фаз φ_n и $\varphi_{pgl} = \varphi_p - \varphi_g + \varphi_l$ математическое ожидание этого члена равно 0 и он не дает существенного вклада в конечный результат. Аналогично в уравнениях (5), (7) не учитываются дополнительные члены, представляющие собой суммы амплитуд волн трехкратной дифракции со случайными фазами.

Рассмотрим диаграмму волновых векторов для многочастотной дифракции с широкополосной геометрией взаимодействия, представленную на рис. 1, б: P_1 , P_2 — сечения поверхности волновых векторов для собственных волн кристалла. Кристаллографические оси [001] и [110] соответствуют случаю кристалла TeO_2 , который является одноосным положительным кристаллом с оптической осью [001]. Нормаль к границам акустического пучка (ось z) лежит в плоскости рисунка. Акустические векторы $\mathbf{q}_1 \dots \mathbf{q}_N$ направлены по прямой AB , которая параллельна касательной к кривой P_2 в точке, соответствующей средней акустической частоте. Концы векторов \mathbf{k}_0 и \mathbf{k}_{nm} лежат на кривой P_1 , а концы векторов $\mathbf{k}_1, \mathbf{k}_2, \dots, \mathbf{k}_N$ и \mathbf{k}_{nmk} — на кривой P_2 . Дифракция света осуще-

ствляется с преобразованием поляризации на 90° (недиагональные элементы тензоров $\Delta \epsilon_n$ не равны 0).

Исходя из (4), (9), по диаграмме рис. 1, б можно найти рассогласования v_n, v_{nm}, v_{nmk} . С этой целью из концов векторов $k_0 + q_n, k_0 + q_n - q_m$ и $k_0 + q_n - q_m + q_k$, лежащих на прямой AB , проводим в направлении оси z отрезки до пересечения с кривыми P_1, P_2 . Точки пересечения определяют положения концов волновых векторов k_n, k_{nm}, k_{nmk} , а длины этих отрезков равны рассогласованиям v_n, v_{nm}, v_{nmk} . В частности, величина v_{nm} (см. рис. 1, б) равна длине отрезка EF , где точка E соответствует концу вектора $k_0 + q_n - q_m$, а точка F — концу вектора k_{nm} . Касательная CD , проведенная к кривой P_1 в точке конца вектора k_0 , образует некоторый угол τ по отношению к векторам q_n . Для векторов k_{nm} , лежащих вблизи вектора k_0 , приближенно можно считать, что конец вектора k_{nm} лежит на прямой CD . Учитывая, что угол GEF равен $90^\circ + \theta_n$, из треугольника GEF получаем $v_{nm} = \frac{GE \sin \tau}{\cos(\theta_n + \tau)}$. Величина отрезка GE равна $GE = q_n - q_m = (n - m)2\pi d/V$, $v_{nm} = (n - m)\beta$, где $\beta = (2\pi d \sin \tau)/V \cos(\theta_n + \tau)$.

Из рис. 1, б видно, что для волн в окрестности 1-го порядка дифракции рассогласования v_n и v_{nmk} будут малы в пределах рабочей полосы акустических частот, поэтому при приближенных расчетах их можно в уравнениях (6), (8) не учитывать.

Решение системы (5) — (8) проведем для случая, когда амплитуда волн трехкратной дифракции мала. При этом в уравнении (7) можно пренебречь вторым членом в правой части. Тогда, если N велико, величину \tilde{a}_n найдем из (5) — (7), воспользовавшись методом решения, предложенным в [9]. Решение уравнения (7) имеет вид

$$\tilde{a}_{nm} = -i \frac{\kappa_{nm}}{c_{nm}} \int_0^z \exp[iv_{nm}(z' - z)] \tilde{a}_n(z') dz'. \quad (10)$$

Подставив (10) в (6) при $v_n = 0$, получим

$$\tilde{a}'_n = -i \frac{\kappa_n}{c_n} a_0 - \int_0^z f_n(z' - z) \tilde{a}_n(z') dz', \quad (11)$$

где $f_n(z) = \sum_{\substack{m=1 \\ n \neq m}}^N \frac{\kappa_{nm}^2}{c_n c_{nm}} \exp(iv_{nm}z)$. При малых углах дифракции

($\Omega_n \ll \omega_0$) все величины $\frac{\kappa_{nm}^2}{c_n c_{nm}} \simeq \frac{\kappa_n^2}{c_n^2} = A^2$ можно считать примерно равными для всех n, m . В выражении для $f_n(z)$ выполним суммирование, учитывая, что $v_{nm} = (n - m)\beta$. При этом для достаточно большого N такого, как $N\beta d/2 \gg 1$, получаем, что $f_n(z)$ можно аппроксимировать

функцией $f_n(z) = \frac{2\pi}{\beta} A^2 \delta(z) - A^2$, где $\delta(z)$ — дельта-функция. С учетом свойств дельта-функции совместное решение уравнений (11) и (5) дает следующее выражение для \tilde{a}_n [9]:

$$\tilde{a}_n = -i \frac{\kappa_n}{c_n} \exp\left[-\frac{\alpha z}{2}\right] \frac{\sin(\gamma z)}{\gamma}, \quad (12)$$

где $\gamma = (A^2 N - \alpha^2/4)^{1/2}$; $\alpha = \pi A^2/\beta$.

Подставив \tilde{a}_n из (12) в (10) и выполнив интегрирование, находим

$$\tilde{a}_{nm} = \frac{b_{nm}}{g_{nm}} \left\{ \exp\left(-\frac{\alpha z}{2}\right) [u_{nm} \sin(\gamma z) - \gamma \cos(\gamma z)] + \gamma \exp(-iv_{nm}z) \right\}, \quad (13)$$

где $b_{nm} = -\frac{\kappa_{nm}\kappa_n}{c_{nm}c_n}$; $g_{nm} = \gamma [(iv_{nm} - \alpha/2)^2 + \gamma^2]$; $u_{nm} = iv_{nm} - \alpha/2$.

Затем проинтегрируем (8) при $v_{nmk} = 0$ с учетом (13) для \tilde{a}_{nm} :

$$\tilde{a}_{nmk} = \frac{b_{nmk}}{Wg_{nm}} \left\{ \exp\left(-\frac{\alpha z}{2}\right) \left[\gamma \left(\frac{\alpha}{2} - u_{nm}\right) \cos(\gamma z) - \left(\gamma^2 + \frac{u_{nm}\alpha}{2}\right) \sin(\gamma z) \right] + \left(u_{nm} - \frac{\alpha}{2}\right) \gamma + \frac{i\gamma W}{v_{nm}} [\exp(-iv_{nm}z) - 1] \right\}, \quad (14)$$

где $b_{nmk} = \frac{\kappa_{nmk}\kappa_{nm}\kappa_n}{c_{nmk}c_{nm}c_n}$; $W = \gamma^2 + \alpha^2/4$.

При малых углах дифракции величины b_{nm} и b_{nmk} в (13) и (14) примерно одинаковы для всех n, m, k . Поэтому величины \tilde{a}_{nm} и \tilde{a}_{nmk} зависят через величину v_{nm} только от разности индексов $l = n - m$. Причем можно обозначить $\tilde{a}_{nm} = A_2(l)$, $\tilde{a}_{nmk} = A_3(l)$.

Из (4) следует, что волны с амплитудами \tilde{a}_{nm} , имеющие равную разность индексов $n - m$, будут иметь одинаковое направление распространения. Аналогично совпадают по направлению волны с амплитудами \tilde{a}_{nmk} , для которых равны $n - m + k$. Отсюда результирующая амплитуда B_l шумового светового пучка двукратной дифракции с индексом l складывается из отдельных волн \tilde{a}_{nm} , для которых $n - m = l$, т. е.

$$B_l = \sum_{\substack{n \\ (n-m=l)}} \sum_m \tilde{a}_{nm} \exp(i\varphi_{nm}),$$

а результирующая амплитуда C_p шумового светового пучка трехкратной дифракции с индексом p складывается из отдельных волн \tilde{a}_{nmk} , для которых $n - m + k = p$, т. е.

$$C_p = \sum_{\substack{n \\ (n-m+k=p)}} \sum_m \sum_k \tilde{a}_{nmk} \exp(i\varphi_{nmk}).$$

Поскольку в выражениях амплитуды складываются со случайными фазами, средние интенсивности B_l^2 и C_p^2 шумовых световых пучков равны суммам интенсивностей \tilde{a}_{nm}^2 и \tilde{a}_{nmk}^2 отдельных волн (некогерентное сложение). Сделав замену индексов суммирования $m = n - l$ и $k = p - l$, можно получить

$$B_l^2 = (N - |l|) A_2^2(l); \quad (15)$$

$$C_p^2 = \sum_{l=p-N}^{p-1} (N - |l|) A_3^2(l). \quad (16)$$

Исходя из выражений (12)–(16), может быть рассчитан и проанализирован ряд параметров многочастотной дифракции.

II. Параметры многочастотной дифракции. 1. Дифракционная эффективность. Дифракционную эффективность η определим как часть световой энергии, относящуюся к волнам первичной дифракции. Приближенно можно считать, что $\eta \simeq N\tilde{a}_n^2$, где \tilde{a}_n^2 — квадрат модуля амплитуды из (12), взятой при $z = d$.

Для анализа зависимости η от амплитуды акустических волн воспользуемся величиной $\xi = (A^2 N)^{1/2} d$, которая характеризует среднеквадратичную величину фазовой модуляции среды, вызванную акустическими волнами. Кроме того, введем величину $t_1 = N\beta d$, которая практически совпадает с величиной максимального фазового рассогласования для волн двукратной дифракции, равного $v_{N,1}d = (N - 1)\beta d$. Величины, входящие в (12), можно выразить через ξ и t_1 : $\kappa_n/c_n \simeq \xi/(dN^{1/2})$; $\gamma = \left(\frac{\xi^2}{d^2} - \frac{\alpha^2}{4}\right)^{1/2}$; $\alpha = \pi\xi^2/(t_1 d)$.

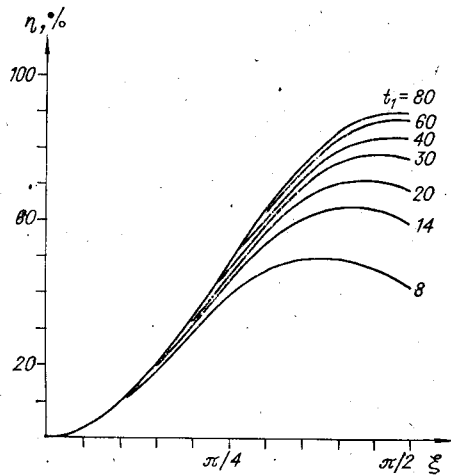


Рис. 2. Дифракционная эффективность η в зависимости от фазовой модуляции среды ξ для различных значений фазового рассогласования t_1

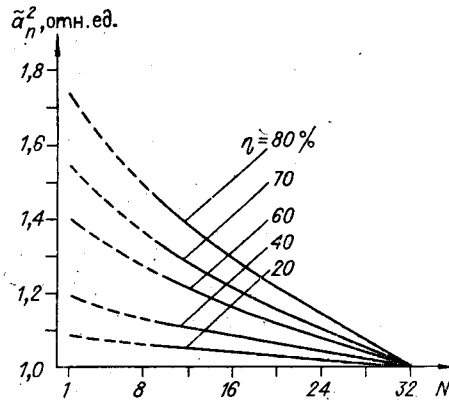


Рис. 3. Нормированные зависимости интенсивности сигнального светового пучка от числа акустических частот N для различных уровней дифракционной эффективности

Тогда для η получаем выражение

$$\eta = \frac{\exp\left(-\frac{\pi\xi^2}{t_1}\right) \sin^2\left[\xi^2 - \left(\frac{\pi\xi}{2t_1}\right)^2\right]^{1/2}}{1 - \left(\frac{\pi\xi}{2t_1}\right)^2} \cdot 100\% \quad (17)$$

Зависимости η от ξ , рассчитанные из (17) для разных значений t_1 , показаны на рис. 2. Видно, что максимальное значение $\eta < 100\%$ и уменьшается с уменьшением фазового рассогласования t_1 .

2. *Кросс-модуляция.* Эффект кросс-модуляции [4] проявляется зависимостью величины интенсивности \tilde{a}_n^2 первичного дифрагированного пучка от числа акустических частот N при постоянной амплитуде акустической волны ($\kappa_n = \text{const}$). На рис. 3 приведены рассчитанные исходя из (12) при $z = d$ нормированные зависимости величины \tilde{a}_n^2 от N для пяти различных значений амплитуд акустической волны, которые соответствуют уровням дифракционной эффективности $\eta = 80, 70, 60, 40, 20\%$, взятым при $N = 32$. При расчете полагалось, что $t_1 = 60$. Точки, соответствующие $N = 1$ (см. рис. 3), рассчитаны по известному выражению для случая одночастотной дифракции $\tilde{a}_1^2 = \sin^2(\kappa_1 d/c_1)$ [8]. Из рис. 3 видно, что чем больше η , тем быстрее возрастает \tilde{a}_n^2 при уменьшении числа N . За величину кросс-модуляции K примем величину процентного изменения \tilde{a}_n^2 при уменьшении числа частот от N до 1. При $\eta = 20\%$ имеем $K = 8\%$, а при $\eta = 80\%$ — $K = 74\%$. В общем случае можно показать, что $K = [(N/\eta)\sin^2(\xi/N^{1/2}) - 1] 100\%$, где η определяется из (17). С уменьшением t_1 величина η падает, а коэффициент K растет.

3. *Отношение сигнал — интермодуляционный фон двукратной дифракции S/F_2 .* Указанный параметр определим как отношение интенсивности одного из первичных дифрагированных пучков к средней интенсивности светового пучка двукратной дифракции с индексом $l = 1$, т. е. $S/F_2 = \tilde{a}_n^2/B_1^2$. Учитывая, что в (13) $b_{nm} \approx \xi^2/(d^2N)$, из соотношений (12), (13), (15) при $z = d$ можно показать, что B_1^2 и S/F_2 зависят помимо величины ξ также от $f_1 = \beta d$ и от N . Численные расчеты на ЭВМ величины S/F_2 в зависимости от N при постоянном $t_1 = f_1 N$ показывают, что S/F_2 изменяется для всех ξ не более чем на 20% при изменении N

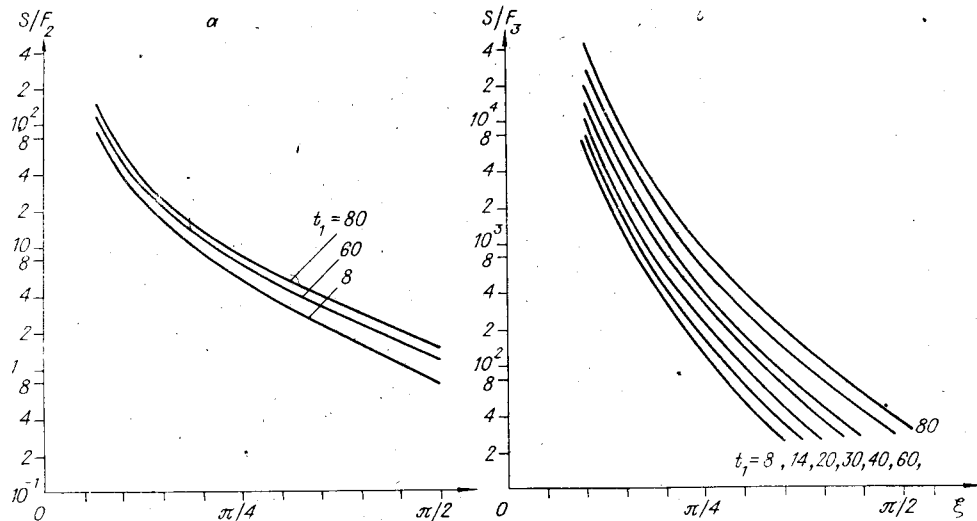
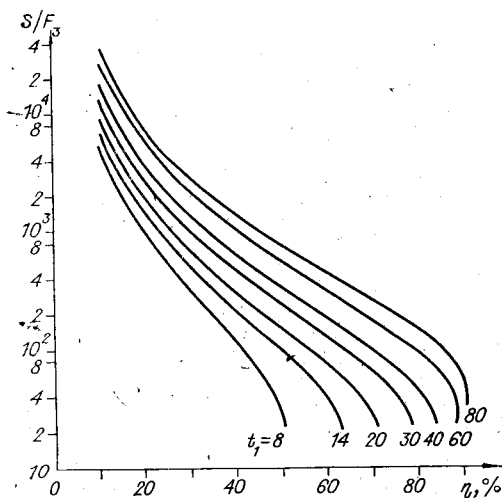


Рис. 4. Отношение сигнал — интермодуляционный фон двукратной (а) и трехкратной (б) дифракций в зависимости от фазовой модуляции среды ξ для различных значений фазового рассогласования t_1

от 16 до 128. Это позволяет при приближенном определении S/F_2 вместо двух величин f_1 и N указать только одну — t_1 . На рис. 4 приведены результаты расчета величины S/F_2 в зависимости от фазовой модуляции ξ , где у каждой кривой указано соответствующее значение величины t_1 (расчет проведен для $N = 32$). Видно, что с увеличением ξ отношение S/F_2 резко уменьшается и при $\xi = \pi/2$ $S/F_2 = 1-2$.

4. *Отношение сигнал — интермодуляционный фон трехкратной дифракции S/F_3 .* За этот параметр примем отношение интенсивности одного из первичных дифрагированных пучков к средней интенсивности шумового пучка трехкратной дифракции с индексом $\rho \approx N/2$, т. е. $S/F_3 = \tilde{a}_n^2 / C_{N/2}^2$. Выражая в (14) α и γ через ξ и учитывая, что $b_{nmk} = \xi^3 / (d^3 N^{3/2})$, можно показать, что величины $c_{N/2}^2$ и S/F_3 помимо ξ зависят от $f_1 = \beta d$ и N . Как и в случае S/F_2 , при приближенном определении S/F_3 можно указывать только величину $t_1 = f_1 N$, поскольку при постоянном t_1 величина S/F_3 слабо зависит от N для всех значений ξ . Результаты численного расчета S/F_3 в зависимости от ξ для различных значений t_1 показаны на рис. 4, б, где у каждой кривой проставлено соответствующее значение t_1 (расчет проведен при $N = 32$). Из сопоставления η и S/F_3 на рис. 2 и 4, б при одинаковых ξ получена зависимость S/F_3 от эффективности η , показанная на рис. 5.



Можно видеть, что с увеличением эффективности η величина S/F_3 падает. Для случая $t_1 = 60$ $S/F_3 = 6 \cdot 10^8$ при $\eta = 20\%$ и $S/F_3 = 100$ при $\eta = 78\%$. С уменьшением фазового рассогласования t_1 величина S/F_3 падает. Заметим, что при отсутствии одной из акустических частот на месте соответствующего сигнального

Рис. 5. Отношение сигнал — интермодуляционный фон трехкратной дифракции S/F_3 в зависимости от дифракционной эффективности η для различных значений фазового рассогласования t_1

светового пучка наблюдается шумовой пучок трехкратной дифракции. В связи с этим на практике величина S/F_3 имеет, как правило, более важное значение, чем S/F_2 .

Таким образом, параметры многочастотной дифракции η , K , S/F_2 и S/F_3 определяются величинами фазовой модуляции среды ξ и фазового рассогласования t_1 . Величина t_1 увеличивается с ростом длины взаимодействия d и частотного шага δ между акустическими волнами. При этом параметры η , S/F_2 и S/F_3 возрастают.

III. Многочастотная дифракция в кристалле парателлурита. Рассмотрим конкретный АОДМ на кристалле TeO_2 , применяемый для параллельной голографической записи данных [4]. В таком АОДМ реализуется многочастотная дифракция света на сдвиговых акустических волнах. Число акустических частот $N = 32$. Длина волны света $\lambda = 0,87$ мкм. Геометрия взаимодействия соответствует рис. 1, б, причем углы $\theta_a = 11,4^\circ$, $\theta_i = 55^\circ$. Угол распространения падающего света по отношению к оптической оси $\theta_0 = 8^\circ$. Средняя акустическая частота широкополосной дифракции 96 МГц, частотный шаг $\delta = 2$ МГц, а полоса частот $\Delta f = 62$ МГц.

Сечение поверхности волновых векторов кристалла P_1 может быть аппроксимировано эллипсом с полуосями $A_1 = \frac{2\pi}{\lambda} (n_o + \delta_1)$ и $B = \frac{2\pi}{\lambda} n_e$, где n_o , n_e — обыкновенный и необыкновенный показатели преломления кристалла; $\delta_1 = \frac{\rho\lambda}{360^\circ}$, причем ρ — удельное вращение плоскости поляризации света [10]. В данном случае $n_o = 2,2179$, $n_e = 2,36315$, $\rho = 38,5$ град/мм ($\delta_1 = 9,52 \cdot 10^{-5}$). Можно показать, что угол наклона θ_τ касательной CD (см. рис. 1, б) по отношению к оси $[110]$ связан с полярным углом θ_0 точки касания G соотношением $\text{tg } \theta_\tau = \left[\frac{A_1}{B} \right]^2 \text{tg } \theta_0$. Из этого соотношения для $\theta_0 = 8^\circ$ получаем $\theta_\tau = 7^\circ$. Угол между касательной CD и векторами звука $\mathbf{q}_1 \dots \mathbf{q}_N$ равен $\tau = \theta_a - \theta_\tau = 4^\circ$, а величина $\beta = 2,364$ мм $^{-1}$ ($V = 0,72 \cdot 10^6$ мм/с). Длина взаимодействия d выбрана из условия обеспечения заданной полосы частот Δf в соответствии с выражением

$$d \approx 1,62 \frac{8n_o V^2 \cos \theta_i}{\pi \lambda \Delta f^2},$$

которое получено для случая очень малой эффективности дифракции, когда в (6) можно положить $a_0(z) \approx 1$, $\tilde{a}_{nm} = 0$, и соответствует величине спада интенсивности \tilde{a}_n^2 на краях и в центре полосы частот на 20%. В данном случае $d \approx 0,8$ мм, тогда величина $t_1 = N\beta d \approx 60$. Для указанного значения t_1 из рис. 2 определяем, что η не превышает 90%. Из рис. 3 и 5 находим, что для эффективности $\eta = 20\%$ кросс-модуляция составляет 8%, а отношение $S/F_3 = 6 \cdot 10^3$. Для эффективности $\eta = 80\%$ кросс-модуляция равна 74%, а отношение $S/F_3 = 100$. Для такого АОДМ оптимальным следует считать режим работы, когда эффективность дифракции не превышает 50% (кросс-модуляция менее 30%).

Заключение. Получена и решена система уравнений связанных волн для многочастотной брэгговской дифракции света на акустических волнах в анизотропной среде, учитывающая процессы повторного рассеяния света. Показано, что при широкополосной геометрии взаимодействия процесс многочастотной дифракции определяется в основном величиной фазового рассогласования для световых волн двукратной дифракции.

Для случая большого числа акустических частот проведены численные расчеты параметров многочастотной дифракции. Выявлено, что с возрастанием дифракционной эффективности увеличивается величина кросс-модуляции и уменьшается отношение сигнал — интермодуляционный фон. С увеличением длины взаимодействия и частотного шага между акустическими волнами величина максимальной дифракционной эф-

ракции $S/F_2 = 6 \cdot 10^3$, а для $\eta = 80\%$ $S/F_2 = 100$.

Установленные зависимости параметров многочастотной дифракции позволяют для АОДМ на основе анизотропных сред выбрать оптимальные величины длины взаимодействия и частотного шага, а также определить допустимый уровень дифракционной эффективности.

Автор благодарит П. Е. Твердохлеба за предложение темы работы, А. П. Якимовича за полезные обсуждения.

ЛИТЕРАТУРА

1. Вовк Ю. В., Щепеткин Ю. А. Синтез голограмм двоичной информации акустооптическими методами // *Автометрия*.— 1980.— № 2.
2. Turpin T. M. Spectrum analysis using optical processing // *Proc. of the IEEE*.— 1981.— V. 80, N 4.— P. 79—92.
3. Barabas M., Podmaniczky, Tokes S. On the light noise due to three-phonon scattering in multi-beam acoustooptical modulator used in a laser recorder // *Optica Acta*.— 1982.— V. 29, N 7.— P. 923—939.
4. Hecht D. L. Multi-frequency acoustooptic diffraction // *IEEE Trans. on Sonic and Ultrasonic*.— 1977.— V. SU-24, N 1.— P. 7—18.
5. Yano T., Kawabuchi M., Fukumoto A., Watanabe A. TeO₂ anisotropic Bragg light deflector without midband degeneracy // *Appl. Phys. Lett.*— 1975.— V. 26, N 12.— P. 689—691.
6. Тищенко Ю. Н., Трубецкой А. В. Некоторые вопросы создания и исследования акустооптического дефлектора на монокристаллах TeO₂ // *Автометрия*.— 1979.— № 1.
7. *Физическая акустика. Принципы и методы*/Под ред. У. Мэсона и Р. Терстона: Пер. с англ.— М.: Мир, 1974, т. 7.
8. Никанорова Е. А., Парыгин В. Н. Акустооптическое взаимодействие в анизотропной среде // *Радиотехника и электроника*.— 1983.— Т. 28, № 10.
9. Якимович А. П. Оценка влияния вторичного рассеяния на дифракционную эффективность объемных голограмм диффузных объектов // *Квантовая электрон.*— 1983.— Т. 10, № 2.
10. Брыжина М. Ф., Есаян С. Х. Анизотропный акустооптический дефлектор на одноосных кристаллах с оптической активностью // *ЖТФ*.— 1977.— Т. 47, вып. 9.

Поступила в редакцию 20 июля 1985 г.

УДК 535.241.13 : 534

И. Б. БЕЛИКОВ, В. Б. ВОЛОШИНОВ, Е. А. НИКАНОРОВА, В. Н. ПАРЫГИН
(Москва)

УГЛОВАЯ АПЕРТУРА ПЕРЕСТРАИВАЕМОГО АКУСТООПТИЧЕСКОГО ФИЛЬТРА

Работа посвящена теоретическому и экспериментальному исследованию перестраиваемого акустооптического фильтра на кристалле парателлурита. Перестраиваемые спектральные акустооптические фильтры являются перспективными оптическими устройствами, которые могут найти широкое применение в оптике, квантовой электронике и лазерной технике [1—5]. Работа фильтров основана на селективности брэгговской дифракции света на акустической волне в оптически анизотропных средах. На сегодняшний день акустооптические спектральные приборы отличаются хорошими рабочими параметрами: фильтры характеризуются коэффициентом пропускания T до ста процентов и имеют узкие полосы пропускания $\Delta\lambda$. Высокое спектральное разрешение в сочетании с возможностью быстрой электрической перестройки фильтра позволяет